

Gabriel Jenner de Faria Orsi  
Nº USP 10772800

## **Lista B - Modelagem de Sistemas Dinâmicos**

Brasil

2020

Gabriel Jenner de Faria Orsi  
Nº USP 10772800

## **Lista B - Modelagem de Sistemas Dinâmicos**

Apresentação da Lista A da disciplina  
PME3380 - Modelagem de Sistemas Dinâmicos

Universidade de São Paulo  
Escola Politécnica  
PME3380 - Modelagem de Sistemas Dinâmicos

Orientador: Prof. Dr. Agenor de Toledo Fleury e Prof. Dr. Decio Crisol  
Donha

Brasil  
2020

# Lista de ilustrações

Figura 1 – Função $y$ ao longo do tempo - solução numérica (método de Euler) e exata . . . . .	2
Figura 2 – Função $y$ ao longo do tempo - solução numérica (método de Euler) e exata . . . . .	2
Figura 3 – Função $y$ ao longo do tempo - solução numérica (método de Runge Kutta) e exata . . . . .	4
Figura 4 – Função $y$ ao longo do tempo - solução numérica (método de Runge Kutta) e exata . . . . .	5
Figura 5 – Problema de 1 reservatório com vazão de entrada e saída . . . . .	6
Figura 6 – Altura do reservatório em função do tempo - método de Euler . . . . .	8
Figura 7 – Altura do reservatório em função do tempo - método de Runge Kutta . . . . .	9
Figura 8 – Diferença entre métodos de integração por instante de tempo . . . . .	9
Figura 9 – Problema de 2 reservatórios com vazão de entrada e saída . . . . .	10
Figura 10 – Altura dos reservatórios em função do tempo - método de Euler . . . . .	12
Figura 11 – Altura dos reservatórios em função do tempo - método de Runge Kutta . . . . .	13

# Sumário

<b>1</b>	<b>EXEMPLO 1</b>	<b>1</b>
<b>1.1</b>	<b>Código</b>	<b>1</b>
<b>1.2</b>	<b>Plotagens</b>	<b>2</b>
<b>2</b>	<b>EXEMPLO 2</b>	<b>3</b>
<b>2.1</b>	<b>Código</b>	<b>3</b>
<b>2.2</b>	<b>Plotagens</b>	<b>4</b>
<b>3</b>	<b>EXERCÍCIOS</b>	<b>6</b>
<b>3.1</b>	<b>1 reservatório</b>	<b>6</b>
3.1.1	Código	7
3.1.2	Plotagens	8
<b>3.2</b>	<b>2 reservatórios</b>	<b>9</b>
3.2.1	Código	10
3.2.2	Plotagens	12

# 1 Exemplo 1

## 1.1 Código

O primeiro exemplo trata da resolução de uma equação diferencial por integração numérica, utilizando o método de Euler. Segue o código da equação diferencial de  $\dot{y}$  em função de  $y$ :

```
1 //função de y ponto
2 function [ydot]=funcao(y)
3     ydot=(1-y)/2;
4 endfunction
```

Código da integração numérica e das plotagens feitas.

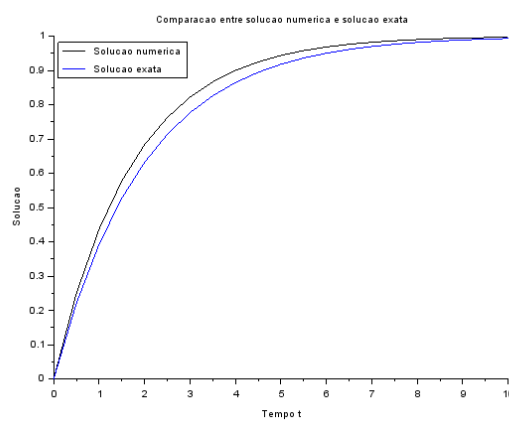
```
1 //Parametros
2 t(1)=0;// Instante inicial
3 tf=10;// Instante final
4 y(1)=0;// Condicao inicial
5 ye(1)=0;// Valor inicial da solucao exata
6 h=0.5;// Passo de integracao (experimente alterar o passo)
7 n=round(tf/h);// Calculo de numero de passos)
8
9 //integração numérica por Euler
10 for i=1:n
11     t(i+1)=t(i)+h;
12     y(i+1)=y(i)+h*funcao(y(i));
13     ye(i+1)=1-exp(-t(i+1)/2);
14 end
15
16 // Plotando solucao numerica y versus vetor de tempo t e solucao exata ye
    versus vetor de tempo t:
17 plot2d([t,t],[y,ye],[-1 -2]);
18 legends(["Solucao numerica","Solucao exata"],[-1,-2],4)// Colocando uma
    legenda na parte inferior direito da figura (parametro 4)
19 xtitle("Comparacao entre solucao numerica e solucao exata","Tempo t","
    Solucao")
20 // Colocando um titulo na figura e nomeando os eixos
21 set("current_figure",1);// Abrindo uma nova janela de graficos
22 plot2d([t,t],[y,ye],[1 2]);// Desenhando outro grafico com linhas
    diferentes
23 T=list("Comparacao entre solucao numerica e solucao exata","Tempo t","
    Solucao","Solucao numerica","Solucao exata");
24 legends([T(4),T(5)],[1,2],2);// Colocando uma legenda na parte superior
    esquerda da figura (parametro 2)
```

25 `xtitle(T(1),T(2),T(3)); // Colocando um titulo na figura e nomeando os eixos`

## 1.2 Plotagens

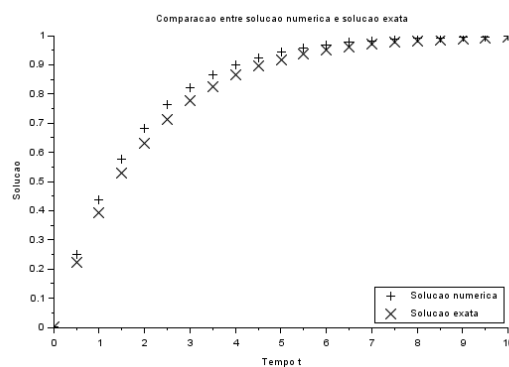
O código exposto anteriormente resultou em duas plotagens com tipos de traço diferentes. Os gráficos mostram a solução exata  $y_e$  em comparação com a solução numérica obtida pelo método de Euler -  $y$ .

Figura 1 – Função  $y$  ao longo do tempo - solução numérica (método de Euler) e exata



Fonte: autoria própria

Figura 2 – Função  $y$  ao longo do tempo - solução numérica (método de Euler) e exata



Fonte: autoria própria

## 2 Exemplo 2

O exemplo 2 trata da mesma equação diferencial do exemplo anterior, porém resolvida numericamente pelo método de Runge Kutta de 4ª ordem, e sem declaração da função previamente, como feito no exemplo 1, mas com a conta feita no próprio laço *for* da integração numérica.

### 2.1 Código

Segue o código da integração por Runge Kutta e das plotagens do exemplo 2.

```

1  clc()
2  clear()
3
4  t(1)=0; // Instante inicial
5  tf=10; // Instante final
6  y(1)=0; // Condicao inicial
7  ye(1)=0; // Valor inicial da solucao exata:
8  h=0.5; // Passo de integracao (experimente alterar o passo):
9  n=round((tf-t(1))/h); // Calculo de numero de passos):
10
11 // Integracao numerica usando o metodo de Runge Kutta:
12 for i=1:n
13     t(i+1)=t(i)+h;
14     k1=h*(1-(y(i)))/2;
15     k2=h*(1-(y(i)+k1/2))/2;
16     k3=h*(1-(y(i)+k2/2))/2;
17     k4=h*(1-(y(i)+k3))/2;
18     y(i+1)=y(i)+((k1+2*k2+2*k3+k4)/6);
19     ye(i+1)=1-exp(-(t(i+1))/2); // Solucao exata
20 end
21 // Plotando solucao numerica y versus vetor de tempo t e solucao exata ye
   versus vetor de tempo t:
22 plot2d([t,t],[y,ye],[-1 -2]);
23 // Colocando uma legenda na parte inferior direito da figura (parametro 4):
24 legends(["Solucao numerica","Solucao exata"],[-1,-2],4)
25 // Colocando um titulo na figura e nomeando os eixos:
26 xtitle("Comparacao entre solucao numerica e solucao exata","Tempo t","
   Solucao")
27 // Abrindo uma nova janela de graficos:
28 set("current_figure", 1);
29 // Aumentando a espessura das linhas:
30 xset("thickness",2)
31 // Aumentando o tamanho da fonte:

```

```

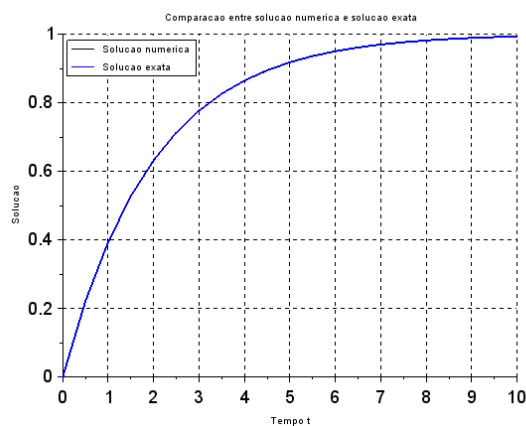
32 xset('font size',4)
33 // Desenhando outro grafico com linhas diferentes:
34 plot2d([t,t],[y,ye],[1 2]);
35 // Usando a variavel do tipo 'lista':
36 T=list("Comparacao entre solucao numerica e solucao exata","Tempo t",
        "Solucao","Solucao numerica","Solucao exata");
37 // Diminuindo a espessura das linhas:
38 xset('thickness',1)
39 // Colocando uma legenda na parte superior esquerda da figura (parametro 2)
   :
40 legends([T(4),T(5)],[1,2],2);
41 // Colocando um titulo na figura e nomeando os eixos:
42 xtitle(T(1),T(2),T(3));
43 // Colocando uma grade no grafico:
44 xgrid(1)

```

## 2.2 Plotagens

As plotagens são análogas ao exemplo 1, dois tipos de linhas diferentes em gráficos que comparam a solução exata com a numérica. Nota-se que o método de Runge Kutta é consideravelmente mais preciso que o Euler para este caso.

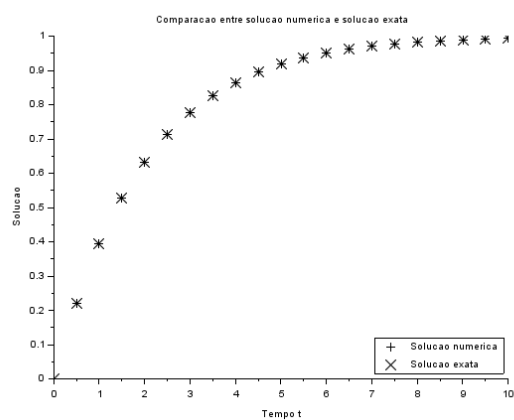
Figura 3 – Função  $y$  ao longo do tempo - solução numérica (método de Runge Kutta) e exata



Fonte: autoria própria



Figura 4 – Função  $y$  ao longo do tempo - solução numérica (método de Runge Kutta) e exata



Fonte: autoria própria

### 3 Exercícios

Segue os exercícios e suas resoluções por Runge Kutta e Euler.

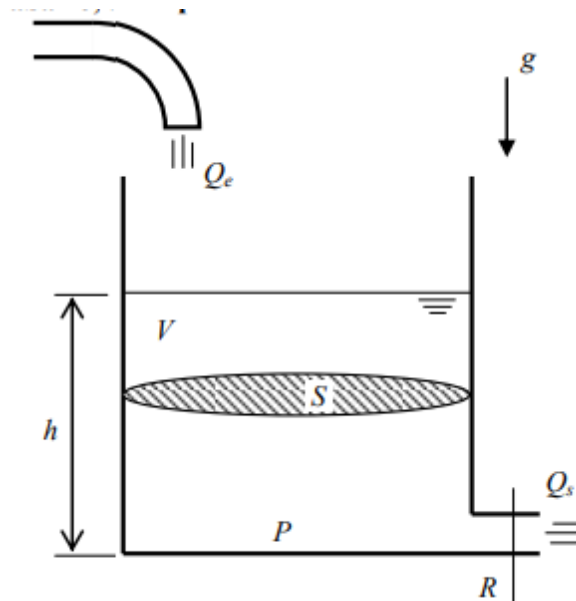
#### 3.1 1 reservatório

O problema consiste num reservatório com vazões de saída e de entrada. Os parâmetros que foram usados para modelar são os seguintes:

- $S = 10m^2$  - área da seção transversal (constante)
- $R = 2 * 108Pa/(m^3/s)^2$  - parâmetro que relaciona vazão com queda de pressão (perda de carga)
- $\rho = 1000kg/m^3$  - massa específica da água
- $G = 10m/s^2$  - aceleração da gravidade na superfície da terra
- $Q_e = 0,010247m^3/s$  - vazão de entrada
- $h(0) = 8m$  - altura inicial estimada do nível de água do tanque (condição de contorno)

O esboço do problema está ilustrado na figura 5:

Figura 5 – Problema de 1 reservatório com vazão de entrada e saída



A equação que modela a variação da altura do reservatório em relação ao tempo  $\dot{h}$  é:

$$\dot{h} = \left( -\sqrt{\frac{\rho G h}{R}} + Q_e \right) \frac{1}{S} \quad (3.1)$$

### 3.1.1 Código

Segue o código que modela a função  $\dot{h}$ :

```
1 //função de h ponto
2 function [hdot]=funcao(h)
3     hdot = (-((rho*G*h)/R)^0.5 + Qe)*(1/S)
4 endfunction
```

Segue o código completo da integração por Euler e por Runge Kutta do problema de 1 reservatório.

```
1 clc()
2 clear()
3
4 //Parametros
5 S = 10 //área da seção transversal (m^2)
6 R = 2*(10^8)//par metro que relaciona vazão com queda de pressão (perda de
   carga)
7 rho = 1000//– massa específica da água (kg/m^3)
8 G = 10//aceleração da gravidade na superfície da terra (m/s^2)
9 Qe = 0.010247//vazão de entrada (m^3/s)
10
11 //Condição inicial
12 he(1) = 8 //altura inicial estimada (m)
13 hr(1) = 8
14 t(1) = 0 //instante inicial de tempo
15 tf = 40000 //instante final de tempo
16 p = 0.1 //passo
17 n = round(tf/p)// Calculo de numero de passos)
18
19 //integração por Euler
20 for i=1:n
21     t(i+1)=t(i)+p;
22     he(i+1)=he(i)+p*funcao(he(i)); //h ponto por Euler
23 end
24
25 //integração por Runge Kutta de 4 ordem
26 for i=1:n
27     t(i+1)=t(i)+p;
28     k1=p*funcao(hr(i));
29     k2=p*funcao(hr(i)+k1/2);
```

```

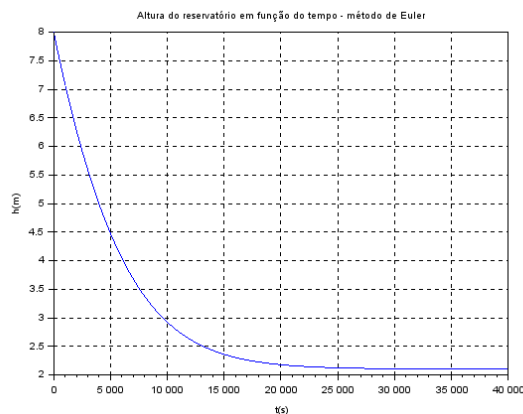
30     k3=p*funcao(hr(i)+k2/2);
31     k4=p*funcao(hr(i)+k3);
32     hr(i+1)=hr(i)+((k1+2*k2+2*k3+k4)/6); //h ponto por Runge Kutta
33 end
34
35 f1 = scf(1)
36 plot(t,he,'b')
37 xtitle('Altura do reservatório em função do tempo – método de Euler', 't(s)'
        ', 'h(m)')
38 xgrid(1)
39
40 f2 = scf(2)
41 plot(t,hr,'r')
42 xtitle('Altura do reservatório em função do tempo – método de Runge Kutta',
        't(s)', 'h(m)')
43 xgrid(1)
44
45 f3 = scf(3)
46 plot(t,(he-hr),'g')
47 xtitle('Diferença das soluções de Euler e Runge Kutta ponto a ponto', 't(s)'
        ', 'Diferença entre soluções(m)')
48 xgrid(1)

```

### 3.1.2 Plotagens

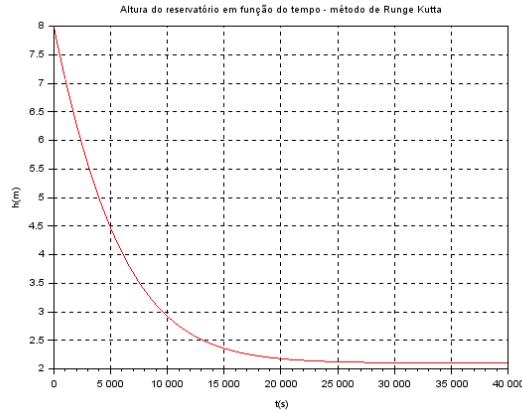
O código exposto anteriormente gerou gráficos da solução do problema por método de Euler (figura 6) e de Runge Kutta (figura 7), além de mostrar também a diferença entre os métodos, ponto a ponto (figura 8).

Figura 6 – Altura do reservatório em função do tempo - método de Euler



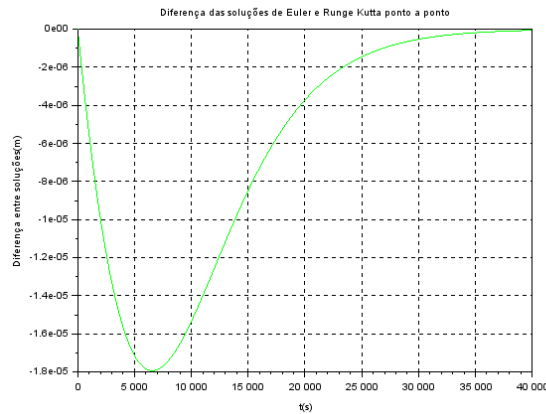
Fonte: autoria própria

Figura 7 – Altura do reservatório em função do tempo - método de Runge Kutta



Fonte: autoria própria

Figura 8 – Diferença entre métodos de integração por instante de tempo



Fonte: autoria própria

É possível perceber que a diferença entre os métodos para este caso é muito pequena, da ordem de  $10^{-6}$ .

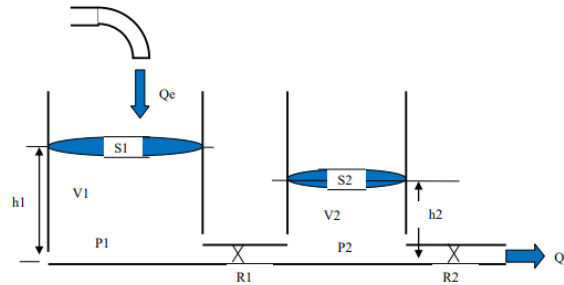
### 3.2 2 reservatórios

Neste problema há 2 reservatórios ligados por um duto, com uma vazão de entrada e uma de saída como mostra a figura 9. Os parâmetros do tanque 1 são os mesmos do tanque do problema de 1 reservatório (sendo  $h_1(0) = 8m$  a altura inicial do tanque 1 e  $R_a = R$ ). Os parâmetros do tanque 2 são os seguintes:

- $S_2 = 8m^2$  - área da seção transversal do tanque 2

- $R_s = 1.5 * 10^8$  - parâmetro que relaciona vazão com queda de pressão (perda de carga) do tanque 2

Figura 9 – Problema de 2 reservatórios com vazão de entrada e saída



A densidade, aceleração da gravidade e vazão de entrada são iguais aos adotados no problema de 1 reservatório.

A equação que modela o problema é a seguinte:

$$\dot{h}_1 = \left[ -\sqrt{\frac{\rho G (h_1 - h_2)}{R_a}} + Q_e \right] \frac{1}{S_1} \quad (3.2)$$

$$\dot{h}_2 = \left[ \sqrt{\frac{\rho G (h_1 - h_2)}{R_a}} - \sqrt{\frac{\rho G h_2}{R_s}} \right] \frac{1}{S_2} \quad (3.3)$$

Sendo  $h_1$  a altura do primeiro tanque e  $h_2$  a do segundo.

### 3.2.1 Código

Segue o código das funções de  $\dot{h}_1$  e  $\dot{h}_2$  (equações 3.2 e 3.3)

```
1 //função de h ponto do tanque 1
2 function [h1dot]=funcao(h1,h2)
3     h1dot = (-((rho*G*(h1-h2))/Ra)^0.5 + Qe)*(1/S1)
4 endfunction
5
6 //função de h ponto do tanque 2
7 function [h2dot]=funcao2(h1,h2)
8     h2dot = (((rho*G*(h1-h2))/Ra)^0.5 - (rho*G*h2/Rs)^0.5)*(1/S2)
9 endfunction
```

Segue o código da integração e plotagens.

```
1 clc()
2 clear()
3
```

```

4 G = 10//aceleração da gravidade na superfície da terra (m/s^2)
5 rho = 1000// massa específica da água (kg/m^3)
6 Qe = 0.010247//vazão de entrada (m^3/s)
7
8 //Par metros tanque 1
9 S1 = 10 //área da seção transversal (m^2)
10 Ra = 2*(10^8)//par metro que relaciona vazão com queda de pressão (perda
    de carga)
11
12 //Par metros tanque 2
13 S2 = 8 //área da seção transversal (m^2)
14 Rs = 1.5*(10^8)//par metro que relaciona vazão com queda de pressão (perda
    de carga)
15
16
17 //Condição inicial
18 h1e(1) = 8 //altura inicial estimada do tanque 1 (m)
19 h1r(1) = 8 //altura inicial estimada do tanque 1 (m)
20 h2e(1) = 5 //altura inicial estimada do tanque 2 (m)
21 h2r(1) = 5 //altura inicial estimada do tanque 2 (m)
22 t(1) = 0 //instante inicial de tempo
23 tf = 40000 //instante final de tempo
24 p = 0.1 //passo
25 n = round(tf/p)// Calculo de numero de passos)
26
27 //integração por Euler
28 for i=1:n
29     t(i+1)=t(i)+p;
30     h1e(i+1)=h1e(i)+p*funcao(h1e(i),h2e(i)); //h ponto por Euler do tanque
    1
31     h2e(i+1)=h2e(i)+p*funcao2(h1e(i),h2e(i)); //h ponto por Euler do tanque
    2
32 end
33
34 //integração por Runge Kutta de 4 ordem
35 for i=1:n
36     t(i+1)=t(i)+p;
37     k1=p*funcao(h1r(i),h2r(i));
38     k2=p*funcao(h1r(i)+k1/2,h2r(i)+k1/2);
39     k3=p*funcao(h1r(i)+k2/2,h2r(i)+k2/2);
40     k4=p*funcao(h1r(i)+k3,h2r(i)+k3);
41
42     m1=p*funcao2(h1r(i),h2r(i));
43     m2=p*funcao2(h1r(i)+m1/2,h2r(i)+m1/2);
44     m3=p*funcao2(h1r(i)+m2/2,h2r(i)+m2/2);
45     m4=p*funcao2(h1r(i)+m3,h2r(i)+m3);
46

```

```

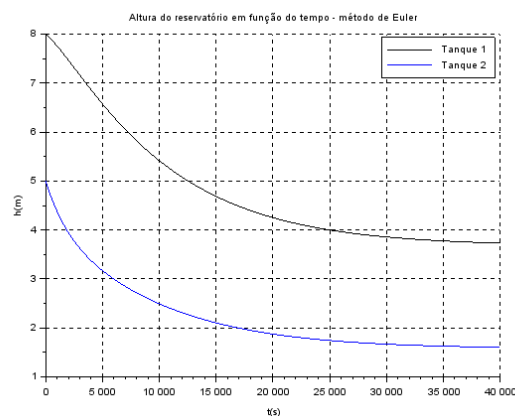
47     h1r(i+1)=h1r(i)+((k1+2*k2+2*k3+k4)/6); //h ponto do tanque 1 por Runge
      Kutta
48     h2r(i+1)=h2r(i)+((m1+2*m2+2*m3+m4)/6); //h ponto do tanque 2 por Runge
      Kutta
49 end
50
51 f1 = scf(1)
52 plot2d([t,t],[h1e,h2e],[1 2])
53 xtitle('Altura do reservatório em função do tempo - método de Euler', 't(s)
      ', 'h(m)')
54 legend(['Tanque 1','Tanque 2'],[1 2],1)
55 xgrid(1)
56
57 f2 = scf(2)
58 plot([t,t],[h1r,h2r],[1 2])
59 xtitle('Altura do reservatório em função do tempo - método de Runge Kutta',
      't(s)', 'h(m)')
60 legend(['Tanque 1','Tanque 2'],[1 2],1)
61 xgrid(1)

```

### 3.2.2 Plotagens

Segue os gráficos gerados da solução numérica de Euler e de Runge Kutta.

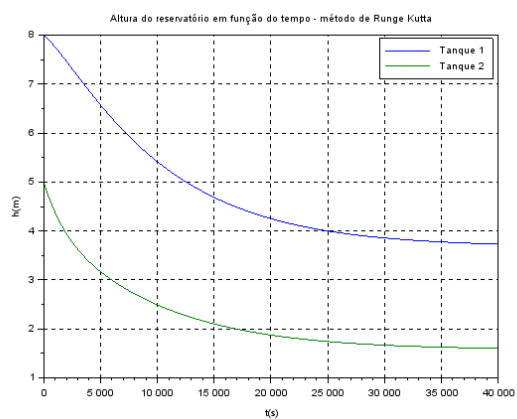
Figura 10 – Altura dos reservatórios em função do tempo - método de Euler



Fonte: autoria própria



Figura 11 – Altura dos reservatórios em função do tempo - método de Runge Kutta



Fonte: autoria própria